

УДК 549.61:548.73.537.3

## СТЕПЕНЬ ОКИСЛЕНИЯ ИОНОВ МЕДИ И МАГНИТНЫЕ СВОЙСТВА $(La_{0.7}Sr_{0.3})(Mn_{1-x}Cu_x)O_{3\pm\delta}$

© 2006 г. А. Г. Белоус\*, О. И. Вьюнов\*, О. З. Янчевский\*,  
А. И. Товстолыткин\*\*, В. О. Голуб\*\*

\*Институт общей и неорганической химии им. В.И. Вернадского  
Национальной академии наук Украины, Киев

\*\*Институт магнетизма Национальной академии наук Украины, Киев

Поступила в редакцию 04.03.2005 г.

Синтезированы объемные керамические образцы  $(La_{0.7}Sr_{0.3})(Mn_{1-x}Cu_x)O_{3\pm\delta}$ . Рентгеновским полнопрофильным анализом (Ритвельда) уточнены параметры элементарной ячейки и межатомные расстояния Mn–O. Магнитные свойства исследованы с использованием спектров ферромагнитного резонанса. Установлено образование твердых растворов с изменением кристаллических параметров по закону Вегарда. Обнаружены две области, в которых изменение намагниченности насыщения имеет различный характер в зависимости от  $x$ . При  $x \leq 0.07$  намагниченность насыщения изменяется слабо, в то время как при  $x > 0.07$  наблюдается значительное ее уменьшение с ростом  $x$ . Наблюдаемые закономерности объяснены тем, что в  $(La_{0.7}Sr_{0.3})(Mn_{1-x}Cu_x)O_{3\pm\delta}$  медь присутствует только в степени окисления 2+.

### ВВЕДЕНИЕ

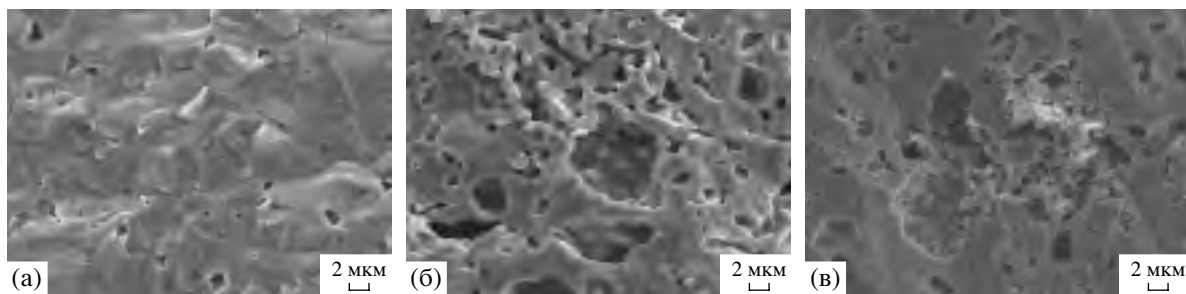
Значительный интерес к замещенным мanganитам со структурой деформированного перовскита  $La_{1-x}A_xMnO_3$  ( $A$  – щелочноземельный металл) связан с сильной чувствительностью их электрических свойств к магнитному полю (колossalный магниторезистивный эффект), что делает эти материалы перспективными для использования в приборах магнитоэлектроники [1, 2]. Однако в большинстве случаев значительные изменения электрического сопротивления достигаются только в сильных полях или в области низких температур, что серьезно ограничивает возможности практического применения. Как показывают исследования последних лет, весьма эффективным инструментом для дальнейшего улучшения магниторезистивных свойств могут служить сложные замещения в катионных подрешетках  $La_{1-x}A_xMnO_3$  [3, 4].

Традиционно особенности поведения данного класса материалов интерпретировались в рамках двойного обмена в системе  $Mn^{3+}$ –O– $Mn^{4+}$ , однако ряд исследований показывает, что существенную роль в физике мanganитов играют также ян-теллеровское электрон-фононное взаимодействие и тенденция к зарядовому (орбитальному) упорядочению [3–5]. Влияя на эти конкурирующие процессы путем замещений в подрешетках лантана или марганца, можно сильно изменять магнитные и магниторезистивные свойства мanganитов, приводя в некоторых случаях к их существенной модификации.

Значительное внимание удалено исследованию решеточных эффектов, возникающих при

замещении лантана редкоземельными элементами с разными ионными радиусами [6, 7]. Замещения марганца как магнитными (Co, Ni, Fe...), так и немагнитными (Ge, Al, Cu...) элементами исследовались в [8–11]. Было показано, что магнитосопротивление можно существенно увеличить, в частности, при использовании добавки меди [11].

На протяжении последних лет получены достаточно противоречивые результаты относительно влияния примесей меди на электрические и магнитные свойства  $La_{1-x}A_xMnO_3$  ( $A$  – Ca, Sr). С одной стороны, в ряде работ сообщалось о существенном повышении магнитосопротивления в легированных медью мanganитах, особенно в слабых магнитных полях [12, 13]. Более того, авторам [14] удалось значительно расширить температурный диапазон, в котором колоссальное магнитосопротивление практически постоянно. С другой стороны, свойства медь-замещенных мanganитов оказались весьма чувствительны к условиям синтеза образцов. Так, авторы [15] и [16] исследовали твердые растворы  $La_{0.7}Ca_{0.3}MnO_3$ , легированные 5% меди, и обнаружили резкий спад (до 50%) сопротивления и незначительное уменьшение ( $\approx 15$  К) температуры перехода металл–диэлектрик по сравнению с образцами, не содержащими меди. Весьма необычное влияние примесей меди на электрические свойства образцов  $La_{0.7}Ca_{0.3}MnO_3$  было обнаружено в [17]. Было показано, что введение небольшого количества Cu ( $\approx 5\%$ ) приводит к расщеплению пика на температурной зависимости электросопротивления на две компоненты. Аномалии электрических и магнитных свойств, а так-



**Рис. 1.** Микроструктура керамических образцов  $\text{La}_{0.7}\text{Sr}_{0.3}\text{Mn}_{1-x}\text{Cu}_x\text{O}_{3\pm\delta}$  с  $x = 0$  (а); 0.05 (б) и 0.10 (в).

же магнитное фазовое расслоение в слабо легированных медью мanganитах наблюдалось в работах [12, 18–20] с помощью различных (преимущественно резонансных) методик. Создается впечатление, что замещение марганца медью не только ослабляет двойной обмен, но и сильно изменяет всю систему конкурирующих взаимодействий, присущих мanganитам.

Анализ и прогнозирование свойств легированных медью мanganитов затруднены, так как до сих пор нет единого мнения относительно одного из ключевых параметров – степени окисления меди в данных соединениях. Обычно в оксидных соединениях ионы меди находятся в состоянии 2+ [21], хотя изредка – в состоянии 1+ [22] и в состоянии 3+ [23]. В [23] предполагается, что уменьшение объема элементарной ячейки связано с замещением  $\text{Mn}^{3+}$  на  $\text{Cu}^{3+}$ . В то же время авторы работ [12, 14, 15, 18] анализировали полученные данные, полагая, что в замещенных мanganитах все ионы меди находятся в состоянии 2+. Напротив, на основании структурных исследований поликристаллов  $\text{La}_{1-z}\text{Sr}_z\text{Mn}_{1-x}\text{Cu}_x\text{O}_3$  ( $z = 0, 0.1, 0.3; 0 \leq x \leq 0.5$ ) авторы [24] сделали вывод, что ионы меди находятся в зарядовом состоянии как 2+, так и 3+. С такими выводами согласуются результаты [13, 25]. Таким образом, данные о степени окисления меди в указанных материалах противоречивы.

Целью данной работы является синтез и определение степени окисления ионов меди  $(\text{La}_{0.7}\text{Sr}_{0.3})(\text{Mn}_{1-x}\text{Cu}_x)\text{O}_{3\pm\delta}$  на основе исследования структурных, магнитных и резонансных свойств.

## МЕТОДИКА ЭКСПЕРИМЕНТА

Поликристаллические образцы  $\text{La}_{0.7}\text{Sr}_{0.3}\text{Mn}_{1-x}\text{Cu}_x\text{O}_{3\pm\delta}$  (LSMC) с  $x = 0 - 0.15$  получали методом твердофазного синтеза. В качестве исходных реагентов использовали  $\text{La}_2\text{O}_3$ ,  $\text{Mn}_2\text{O}_3$  (“ос. ч.”),  $\text{SrCO}_3$ ,  $\text{CuO}$  (“х. ч.”). Помол осуществляли с добавлением бидистиллированной воды. Полученную шихту сушили при температуре 370–390 К, пропускали через капроновое сито (230 мкм) и проводили предварительный отжиг при  $T_{\text{отж}} = 1270$  К (4 ч). Синтезированный порошок прессо-

вали в заготовки диаметром 12 и толщиной 3 мм, а затем спекали при температурах  $T_{\text{сп}} = 1540 - 1600$  К (2 ч).

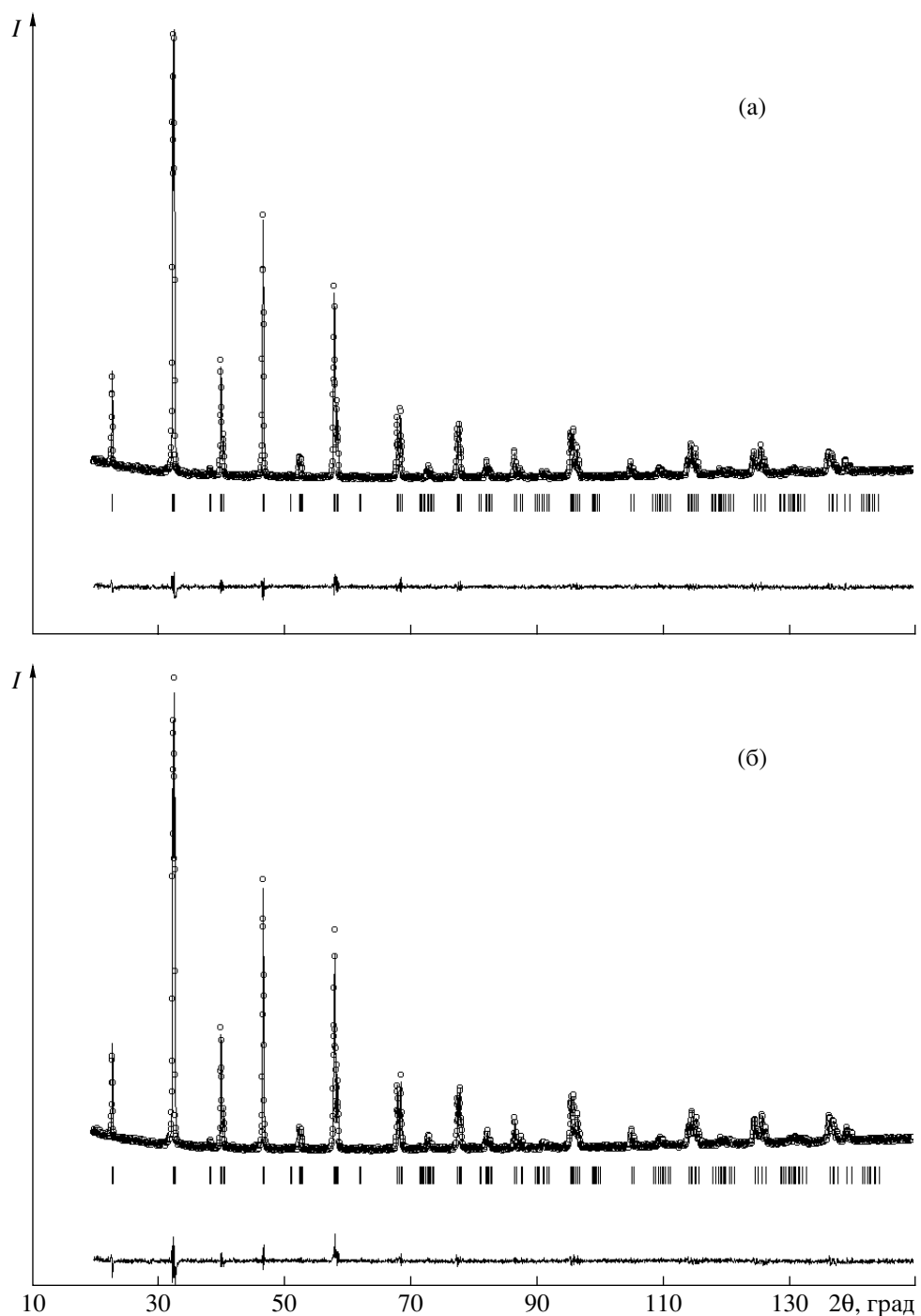
Рентгеновские исследования проводили на дифрактометре ДРОН 4-07 ( $\text{CoK}_\alpha$ -излучение; 40 кВ, 20 мА;  $2\theta = 10^\circ - 150^\circ$ , дискретный режим с шагом  $\Delta 2\theta = 0.02^\circ$ , экспозиция в каждой точке 10 с). Структурные параметры уточняли методом полно-профильного анализа Ритвельда с использованием компьютерной программы FullProf. В качестве внешних стандартов использовали  $\text{SiO}_2$  (стандарт 20) и NIST SRM1976 –  $\text{Al}_2\text{O}_3$  (сертифицированный стандарт интенсивности). Содержание  $\text{Mn}^{3+}$ ,  $\text{Mn}^{4+}$  в образцах определяли титрованием иода раствором тиосульфата натрия. Иод вытеснялся из раствора иода калия хлором, выделявшимся при растворении навески образца мanganита в соляной кислоте [26]. При анализе структурных аспектов замещения марганца медью расчеты проводили в соответствии с методологией, предложенной в [27]. При этом использовали систему ионных радиусов Шеннона [28].

Изучение намагниченности проводили на SQUID-магнитометре Quantum Design MPMS-5S. Измерения ферромагнитного резонанса осуществляли на образцах размером  $1 \times 1 \times 5$  мм с использованием спектрометра RADIOPAN, работающего на частоте 9.2 ГГц. Направление магнитного поля при измерениях совпадало с длинной стороной образца.

## РЕЗУЛЬТАТЫ И ИХ ОБСУЖДЕНИЕ

Микрофотографии керамических образцов  $\text{La}_{0.7}\text{Sr}_{0.3}\text{Mn}_{1-x}\text{Cu}_x\text{O}_{3\pm\delta}$  после спекания при 1300°C на воздухе приведены на рис. 1. Видно, что микроструктура керамики мелкозернистая со средним размером зерна около 2 мкм во всем исследуемом интервале замещения марганца медью. С ростом  $x$  несколько увеличивается пористость керамики.

Керамические образцы  $\text{La}_{0.7}\text{Sr}_{0.3}\text{Mn}_{1-x}\text{Cu}_x\text{O}_{3\pm\delta}$  после спекания при 1300°C на воздухе имели перовскитную структуру с пр. гр.  $R\bar{3} c$  ( $\text{La}(\text{Sr}) - 6a$  (0 0 1/4);  $\text{Mn}(\text{Cu}) - 6b$  (0 0 0);  $\text{O} - 18e$  (x 0 1/4)). Параметры



**Рис. 2.** Профили экспериментальной (точки) и расчетной (линия) дифрактограмм при комнатной температуре образцов  $\text{La}_{0.7}\text{Sr}_{0.3}\text{Mn}_{0.95}\text{Cu}_{0.05}\text{O}_3$  (а) и  $\text{La}_{0.7}\text{Sr}_{0.3}\text{Mn}_{0.90}\text{Cu}_{0.10}\text{O}_3$  (б) (вертикальные черточки показывают позиции пиков, разностная кривая показана внизу).

криSTALLической структуры уточняли методом полнопрофильного анализа Ритвельда (рис. 2). Замещение марганца медью приводит к уменьшению объема элементарной ячейки и координаты кислорода (табл. 1).

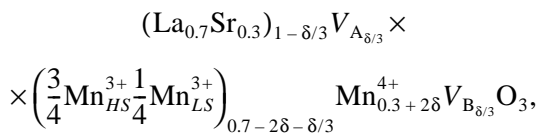
Для определения степени окисления меди проводили сравнение экспериментальных данных,

полученных методом полнопрофильного анализа, с рассчитанными для различных моделей компенсации заряда меди, которая замещала марганец. При расчетах учитывали, что в мanganитах марганец может присутствовать в виде  $\text{Mn}^{3+}$  и  $\text{Mn}^{4+}$ ;  $\text{Mn}^{2+}$  может появляться только при наличии значительного количества вакансий в подрешет-

**Таблица 1.** Структурные параметры мanganитов  $\text{La}_{0.7}\text{Sr}_{0.3}\text{Mn}_{1-x}\text{Cu}_x\text{O}_{3 \pm \delta}$  в зависимости от содержания меди

$x$	0.000	0.01	0.025	0.04	0.050	0.075	0.100	0.125	0.150
$a, \text{\AA}$	5.5061(2)	5.5070(1)	5.5054(2)	5.5057(2)	5.5047(5)	5.5043(2)	5.5017(3)	5.5017(2)	5.5000(3)
$c, \text{\AA}$	13.3616(3)	13.3592(2)	13.3560(3)	13.3556(2)	13.3481(7)	13.3470(3)	13.3396(4)	13.3371(4)	13.3321(4)
$V, \text{\AA}^3$	350.81(2)	350.86(1)	350.58(2)	350.61(2)	350.28(5)	350.20(2)	349.67(3)	349.61(2)	349.26(3)
$x_{\text{O}}$	0.464(3)	0.464(2)	0.464(2)	0.461(2)	0.460(3)	0.457(2)	0.456(2)	0.456(2)	0.456(2)
$R_B, \%$	5.91	5.34	6.81	4.09	8.89	6.12	6.48	6.73	6.68
$R_f, \%$	7.17	6.01	8.72	5.73	8.92	7.73	7.40	8.34	7.92
$\rho_{\text{эксп}}, \text{г/см}^3$	5.12	5.10	5.06	5.00	4.98	4.94	4.9	4.84	4.76

ке лантана [29], в то время как вакансии в подрешетке кислорода не приводят к появлению  $\text{Mn}^{2+}$  [30]. По результатам химического анализа в образце  $\text{La}_{0.7}\text{Sr}_{0.3}\text{Mn}_{1-x}\text{Cu}_x\text{O}_{3 \pm \delta}$  при  $x = 0$  кислородная нестехиометрия  $\delta = +0.035$ , т.е. является достаточно малой, что позволило нам исключить из рассмотрения возможность появления  $\text{Mn}^{2+}$ . Поэтому при расчетах допускали, что марганец находится в степенях окисления 3+ и 4+, в то время как медь может находиться во всех возможных степенях окисления (1+, 2+, 3+). Положительная  $\delta$  в  $\text{La}_{0.7}\text{Sr}_{0.3}\text{MnO}_{3+\delta}$  объясняется наличием катионных вакансий, что, как показано в [27], позволяет представить твердый раствор в виде  $(\text{La}_{0.7}\text{Sr}_{0.3})_{1-\delta/3} V_{A_{\delta/3}} \text{Mn}_{0.7-2\delta-\delta/3}^{3+} \text{Mn}_{0.3+2\delta}^{4+} V_{B_{\delta/3}} \text{O}_3$ , где  $V_A$  и  $V_B$  – вакансии в подрешетке А и В сложного перовскита  $\text{ABO}_3$ . Кроме того, в [31] на основе исследования температурных зависимостей эффекта Зеебека в стронцийсодержащих мanganитах показано, что в твердом растворе  $\text{La}_{0.8}\text{Sr}_{0.2}\text{MnO}_3$  ионы  $\text{Mn}^{3+}$  существуют в высокоспиновом ( $HS$ ) и низкоспиновом ( $LS$ ) состояниях, причем  $\text{Mn}_{HS}^{3+} : \text{Mn}_{LS}^{3+} \approx 3 : 1$ . Существование  $\text{Mn}_{HS}^{3+}$  и  $\text{Mn}_{LS}^{3+}$  подтверждено в ряде работ как экспериментально [32], так и теоретически [33]. Поэтому формулу исследованных нами стронцийсодержащих мanganитов мы можем представить в виде



В [27] на основе анализа структурных данных для большого количества сложных оксидов с перовскитной структурой  $A_{1-a}A'_aB_{1-b}B'_b\text{O}_{3 \pm \delta}$  уста-

новлена взаимосвязь свободного объема элементарной ячейки  $V_f$  с фактором толерантности  $t$

$$V_f = (1.20 \pm 0.09) - (0.95 \pm 0.09)t, \quad (1)$$

где

$$t = \frac{\langle A-O \rangle}{\sqrt{2} \langle B-O \rangle}, \quad (2)$$

$$V_f = \frac{V_{\text{meas}} - V_{\text{occ}}}{V_{\text{meas}}}. \quad (3)$$

Здесь  $\langle A-O \rangle$  и  $\langle B-O \rangle$  – средние межатомные расстояния катион – кислород для катионов подрешетки А и В,  $V_{\text{meas}}$  – экспериментально определенный объем элементарной ячейки,  $V_{\text{occ}}$  – занятый объем элементарной ячейки, который равен сумме объемов ионов и вакансий, рассчитанных исходя из ионных радиусов. При расчетах принимали, что в подрешетке А находятся катионы  $\text{La}^{3+}$  ( $r_{\text{La}} = 1.36 \text{ \AA}$ ) и  $\text{Sr}^{2+}$  ( $1.44 \text{ \AA}$ ), в подрешетке В –  $\text{Mn}_{HS}^{3+}$  ( $0.645 \text{ \AA}$ ),  $\text{Mn}_{LS}^{3+}$  ( $0.72 \text{ \AA}$ ),  $\text{Mn}^{4+}$  ( $0.53 \text{ \AA}$ ),  $\text{Cu}^+$  ( $0.77 \text{ \AA}$ ),  $\text{Cu}^{2+}$  ( $0.73 \text{ \AA}$ ),  $\text{Cu}^{3+}$  ( $0.54 \text{ \AA}$ ), в анионной подрешетке –  $\text{O}^{2-}$  ( $1.36 \text{ \AA}$ ). Радиус катионных вакансий в сверхстехиометрической области по кислороду определяли по формулам [27]:

$$r_{V_A} \approx r_A \sqrt[3]{V_f}; \quad r_{V_B} \approx r_B \sqrt[3]{V_f}. \quad (4)$$

Из (1), (3) следует

$$V_{\text{meas}} = V_{\text{occ}} / (0.95t - 0.2), \quad (5)$$

$$\Delta V_{\text{meas}} = V_{\text{occ}} (0.09t - 0.09) / (0.95t - 0.2)^2.$$

Уравнения (2), (4), (5) использовали для расчета объемов и межатомных расстояний в твердых растворах  $\text{La}_{0.7}\text{Sr}_{0.3}\text{Mn}_{1-x}\text{Cu}_x\text{O}_{3 \pm \delta}$  для различных моделей компенсации заряда меди в подрешетке марганца. На рис. 3 показаны экспериментальные зависимости объема элементарной ячейки и межатомных расстояний Mn–O для  $\text{La}_{0.7}\text{Sr}_{0.3}\text{Mn}_{1-x}\text{Cu}_x\text{O}_{3 \pm \delta}$  от

содержания меди, а также расчетные зависимости в предположении различных моделей компенсации заряда при замещении марганца медью (табл. 2). Как видно из рис. 3, наблюдаемые экспериментальные зависимости согласуются с моделью компенсации заряда меди в подрешетке марганца в виде  $2\text{Mn}^{3+} \rightarrow \text{Mn}^{4+} + \text{Cu}^{2+}$ .

Для выяснения вопроса о влиянии степени окисления меди на электрофизические свойства манганитов исследовали зависимости намагниченности насыщения  $M_s$  и спектров ферромагнитного резонанса (ФМР) от концентрации меди. На рис. 4 показаны петли гистерезиса  $M(H)$  образцов  $\text{La}_{0.7}\text{Sr}_{0.3}\text{Mn}_{1-x}\text{Cu}_x\text{O}_{3 \pm \delta}$  полученные при температуре 10 К. Видно, что во всех образцах, кроме  $\text{La}_{0.7}\text{Sr}_{0.3}\text{Mn}_{0.85}\text{Cu}_{0.15}\text{O}_{3 \pm \delta}$ , намагниченность насыщается в полях  $\geq 400$  кА/м.

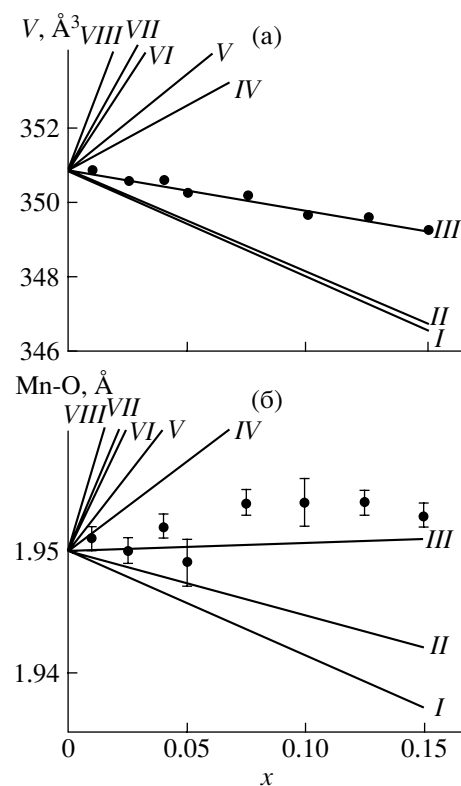
На рис. 5а показана концентрационная зависимость намагниченности насыщения  $M_s$ , измеренной при 10 К в магнитном поле 4000 кА/м. Хорошо видно, что характер зависимости  $M_s(x)$  резко изменяется вблизи  $x = 0.07$ : в области  $x \leq 0.07$  намагниченность насыщения слабо уменьшается, а в области  $x > 0.07$  – уменьшается намного сильнее, причем зависимости почти линейны. На рис. 5а нанесена также расчетная зависимость  $M_s(x)$  для модели III. При расчетах принимали, что намагниченность  $\text{Mn}_{HS}^{3+}$  (спин  $S = 2$ ) =  $4\mu_B$ ;  $\text{Mn}_{LS}^{3+}$  ( $S = 1$ ) =  $= 2\mu_B$ ;  $\text{Mn}_{HS}^{3+}$  ( $S = 3/2$ ) =  $3\mu_B$  [3]. Видно, что для  $x \leq 0.07$  экспериментальные данные достаточно близки к расчетным, а для  $x > 0.07$  экспериментальные и расчетные зависимости существенно различаются.

**Таблица 2.** Модели компенсации заряда при замещении марганца медью в  $\text{La}_{0.7}\text{Sr}_{0.3}\text{Mn}_{1-x}\text{Cu}_x\text{O}_{3 \pm \delta}$

№ модели	Модель катионных вакансий (сверхстехиометрическая об- ласть по кислороду: $x < x_c$ , $\delta > 0$ )	Критическое содержание $\text{Cu}^*$ для исходного значения $\delta_0 = +0.035$ , $(x_c, \delta = 0)$	Модель анионных вакансий (сверхстехиометрическая область по катионам: $x > x_c$ , $\delta < 0$ )
I		$\text{Mn}^{3+} \rightarrow \text{Cu}^{3+}**$	
II		$3\text{Mn}^{3+} \rightarrow 2\text{Mn}^{4+} + \text{Cu}^+$	
III		$2\text{Mn}^{3+} \rightarrow \text{Mn}^{4+} + \text{Cu}^{2+}$	
IV	$2\text{Mn}^{4+} \rightarrow 2\text{Cu}^{3+} - 1/3(V_A + V_B)$	0.070	$2\text{Mn}^{4+} \rightarrow 2\text{Cu}^{3+} + V_O^{..}$
V	$2\text{Mn}^{3+} \rightarrow 2\text{Cu}^{2+} - 1/3(V_A + V_B)$	0.070	$2\text{Mn}^{3+} \rightarrow 2\text{Cu}^{2+} + V_O^{..}$
VI	$\text{Mn}^{3+} \rightarrow \text{Cu}^+ - 1/3(V_A + V_B)$	0.035	$\text{Mn}^{3+} \rightarrow \text{Cu}^+ + V_O^{..}$
VII	$\text{Mn}^{4+} \rightarrow \text{Cu}^{2+} - 1/3(V_A + V_B)$	0.035	$\text{Mn}^{4+} \rightarrow \text{Cu}^{2+} + V_O^{..}$
VIII	$2\text{Mn}^{4+} \rightarrow 2\text{Cu}^+ - (V_A + V_B)$	0.024	$2\text{Mn}^{4+} \rightarrow 2\text{Cu}^+ + 3V_O^{..}$

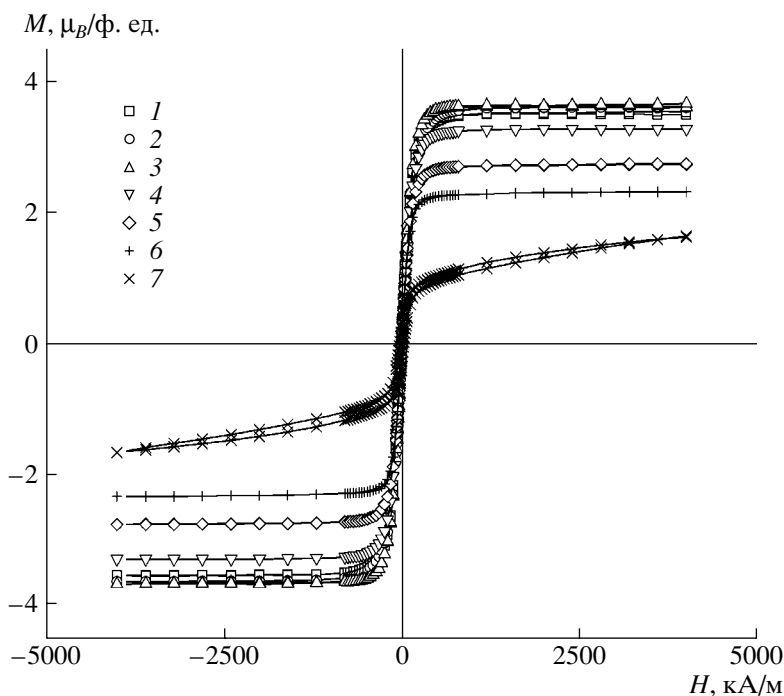
\* В моделях I–III с увеличением содержания меди величина  $\delta$  не изменяется, в моделях IV–VIII – уменьшается, достигая нуля при  $x_c$ .

\*\* При расчетах принимали, что в медьзамещенных манганитах соотношение  $\text{Mn}_{HS}^{3+} : \text{Mn}_{LS}^{3+}$  сохраняется.

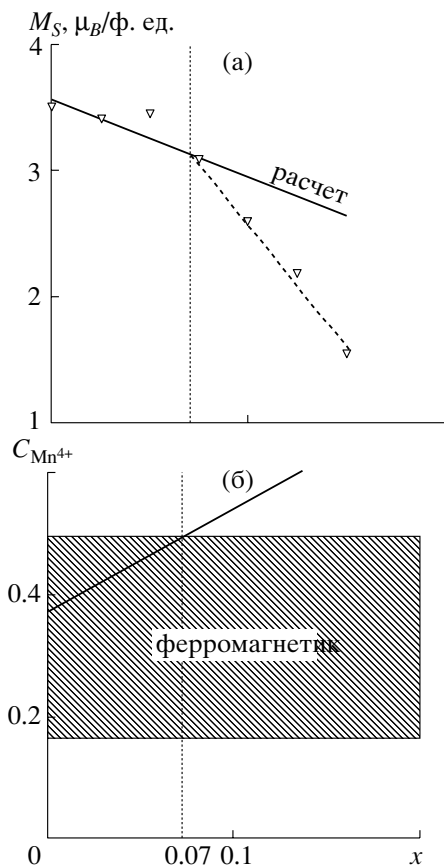


**Рис. 3.** Зависимости объема элементарной ячейки (а) и межатомных расстояний Mn–O (б) для  $\text{La}_{0.7}\text{Sr}_{0.3}\text{Mn}_{1-x}\text{Cu}_x\text{O}_{3 \pm \delta}$  от содержания меди, определенные экспериментально (точки) и рассчитанные в предположении различных моделей компенсации заряда меди в подрешетке марганца (номера кривых соответствуют номерам моделей в табл. 2).

Для объяснения наблюдавшихся закономерностей нами был проведен анализ зависимости доли  $\text{Mn}^{4+}$  в общем количестве марганца от концентра-



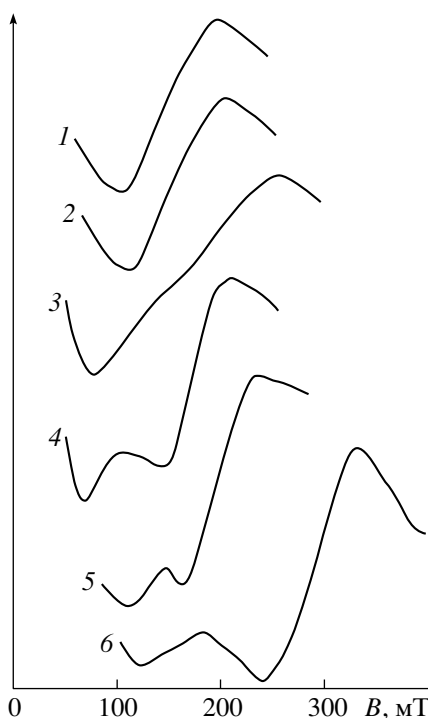
**Рис. 4.** Петли гистерезиса  $M(H)$  для образцов  $\text{La}_{0.7}\text{Sr}_{0.3}\text{Mn}_{1-x}\text{Cu}_x\text{O}_{3 \pm \delta}$  с  $x = 0$  (1), 0.025 (2), 0.050 (3), 0.075 (4), 0.100 (5), 0.125 (6), 0.150 (7) ( $T = 10$  К).



**Рис. 5.** Экспериментальная и расчетная зависимости намагниченности насыщения образцов  $\text{La}_{0.7}\text{Sr}_{0.3}\text{Mn}_{1-x}\text{Cu}_x\text{O}_{3 \pm \delta}$  при 10 К в магнитном поле 4000 кА/м (а) и доля  $\text{Mn}^{4+}$  в образцах  $\text{La}_{0.7}\text{Sr}_{0.3}\text{Mn}_{1-x}\text{Cu}_x\text{O}_{3 \pm \delta}$  (б).

ции меди. При  $x = 0$  долю  $\text{Mn}^{4+}$  определяли по данным химического анализа [26], а при  $x > 0$  – рассчитывали исходя из модельного уравнения  $2\text{Mn}^{3+} \rightarrow \text{Mn}^{4+} + \text{Cu}^{2+}$  (рис. 5б). Известно [34, 35], что в Sr-содержащих мanganитах ферромагнитная фаза существует, если  $C_{\text{Mn}^{4+}}$  находится в пределах от 0.18 до 0.50 (заштрихованная область на рис. 5б). Вне указанного диапазона преобладает тенденция к антиферромагнитному упорядочению, что приводит к появлению антиферромагнетизма или более сложных видов магнитного упорядочения [34, 35]. Из рис. 5б следует, что при  $x > 0.07$  магнитная фаза, по-видимому, распадается на две, одна из которых имеет малую намагниченность и все еще не насыщается в магнитном поле 4000 кА/м. Для проверки такой гипотезы были исследованы спектры ферромагнитного резонанса образцов  $\text{La}_{0.7}\text{Sr}_{0.3}\text{Mn}_{1-x}\text{Cu}_x\text{O}_{3 \pm \delta}$ .

На рис. 6 показана эволюция спектров ФМР при изменении содержания меди. Для образцов с  $x = 0$  и 0.025 резонансные спектры представляют собой одиночную линию с параметрами, соответствующими ферромагнитному состоянию мanganитов и хорошо согласующимися с данными [36, 37] для образцов  $\text{La}_{0.7}\text{Sr}_{0.3}\text{MnO}_3$  (резонансное поле  $B_r \approx 220$  мТ, ширина линии  $w = 105$  мТ). В образце с  $x = 0.050$  линия несколько уширена, что свидетельствует о появлении магнитной неоднородности. Главной особенностью магнитного резонанса образцов с  $x > 0.070$  является наличие двух хорошо разрешаемых линий поглощения, отвечаю-



**Рис. 6.** Спектры ферромагнитного резонанса образцов  $\text{La}_{0.7}\text{Sr}_{0.3}\text{Mn}_{1-x}\text{Cu}_x\text{O}_{3\pm\delta}$  с  $x = 0$  (1), 0.025 (2), 0.050 (3), 0.075 (4), 0.100 (5), 0.150 (6) ( $T = 77$  К).

щих двум различным магнитным фазам. Эти данные хорошо согласуются с предположением, что в области  $x \leq \sim 0.07$  должна наблюдаться однородная ферромагнитная фаза, в то время как при  $x > 0.07$  происходит распад на две магнитные фазы. Полученные данные подтверждают, что модель компенсации заряда меди в подрешетке марганца в  $\text{La}_{0.7}\text{Sr}_{0.3}\text{Mn}_{1-x}\text{Cu}_x\text{O}_{3\pm\delta}$  описывается уравнением  $2\text{Mn}^{3+} \rightarrow \text{Mn}^{4+} + \text{Cu}^{2+}$ , согласно которому медь находится в степени окисления 2+.

## ЗАКЛЮЧЕНИЕ

На основании исследований зависимостей объема элементарной ячейки, межатомных расстояний Mn-O, намагниченности насыщения, а также спектров ФМР образцов  $\text{La}_{0.7}\text{Sr}_{0.3}\text{Mn}_{1-x}\text{Cu}_x\text{O}_{3\pm\delta}$  от содержания меди установлено, что при замещении ионов марганца ионами меди компенсация заряда описывается моделью  $2\text{Mn}^{3+} \rightarrow \text{Mn}^{4+} + \text{Cu}^{2+}$ . Согласно которой медь находится в степени окисления 2+.

## СПИСОК ЛИТЕРАТУРЫ

1. Helmolt von R., Wecker J., Samwer K. et al. Intrinsic Giant Magnetoresistance of Mixed Valence La-A-Mn Oxide (A = Ca, Sr, Ba) // J. Appl. Phys. 1994. V. 76. № 10. P. 6925–6928.
2. Jin S.S., Tiefel T. H., McCormack M. et al. Thousandfold Change in Resistivity in Magnetoresistive La-Ca-Mn-O Films // Science. 1994. V. 264. № 5157. P. 413–415.
3. Haghiri-Gosnet A.-M., Renard J.-P. CMR Manganites: Physics, Thin Films and Devices // J. Phys. D: Appl. Phys. 2003. V. 36. P. R127–R150.
4. Hwang H.Y., Cheong S.-W., Radaelli P.G. et al. Lattice Effects on the Magnetoresistance in Doped  $\text{LaMnO}_3$  // Phys. Rev. Lett. 1995. V. 75. № 5. P. 914–917.
5. Gor'kov L.P., Kresin V.Z. Manganites at Low Temperatures and Light Doping: Band Approach and Percolation // Письма в ЖЭТФ. 1998. Т. 67. № 11. С. 934–939.
6. Radaelli P.G., Iannone G., Marezio M. et al. Structural Effects on the Magnetic and Transport Properties of Perovskite  $\text{A}_{1-x}\text{A}'_x\text{MnO}_3$  ( $x = 0.25, 0.30$ ) // Phys. Rev. B. 1997. V. 56. P. 8265.
7. Pierre J., Nossow A., Vassiliev V., Ustinov V. A Magnetic Pair-Breaking Effects in Rare Earth-Doped Manganites // Phys. Lett. A. 1998. V. 250. P. 435–438.
8. Rubinstein M., Gillespie D. J., Snyder E. J., Tritt M. T. Effects of Gd, Co, and Ni Doping in  $\text{La}_{2/3}\text{Ca}_{1/3}\text{MnO}_3$ : Resistivity, Thermopower, and Paramagnetic Resonance // Phys. Rev. B. 1997. V. 56. № 9. P. 5412–5423.
9. Sun J.R., Rao G.H., Shen B.G., Wong H.K. Doping effects arising from Fe and Ge for Mn in  $\text{La}_{0.7}\text{Ca}_{0.3}\text{MnO}_3$  // Appl. Phys. Lett. 1998. V. 73. P. 2998.
10. Turilli G., Licci F. Relationship between Spin Order and Transport and Magnetotransport Properties in  $\text{La}_{0.67}\text{Ca}_{0.33}\text{Mn}_{1-x}\text{Al}_x\text{O}_3$  Compounds // Phys. Rev. B. 1996. V. 54. № 18. P. 13 052 – 13 057.
11. Hebert S., Maignan A., Martin C., Raveau B. Important Role of Impurity eg Levels on the Ground State of Mn-Site Doped Manganites // Solid. State Commun. 2002. V. 121. P. 229–234.
12. Yuan S.L., Yang Y.P., Xia Z.C. et al. Unusual Hysteresis and Giant Low-Field Magnetoresistance in Polycrystalline Sample with Nominal Composition of  $\text{La}_{2/3}\text{Ca}_{1/3}\text{Mn}_{0.955}\text{Cu}_{0.045}\text{O}_3$  // Phys. Rev. B. 2002. V. 66. P. 172402-1 – 172402-4.
13. Nguyen C., Niem P.Q., Nhat H.N. et al. Influence of Cu Substitution for Mn on the Structure, Magnetic, Magnetocaloric and Magnetoresistance Properties of  $\text{La}_{0.7}\text{Sr}_{0.3}\text{MnO}_3$  Perovskites // Physica B. 2003. V. 327. P. 214–217.
14. Yuan S. L., Tang J., Xia Z.C. et al. Low-Field Colossal Constant Magnetoresistance for Wide Temperature Ranges in the Sol-Gel Prepared  $\text{La}_{2/3}\text{Ca}_{1/3}\text{Mn}_{0.96}\text{Cu}_{0.04}\text{O}_3$  // Solid. State Commun. 2003. V. 127. P. 743–747.
15. Ghosh K., Ogale S. B., Ramesh R. et al. Transition-Element Doping Effects in  $\text{La}_{0.7}\text{Ca}_{0.3}\text{MnO}_3$  // Phys. Rev. B. 1999. V. 59. № 1. P. 533 – 537.
16. Troyanchuk O., Khalyavin D.D., Shapovalova E.F. et al. Proc. 8th Eur. Magnetic Materials and Application Conf. Kyiv, 2000. P. 34.
17. Sergeenkov S., Ausloos M., Bougrine H. et al. Anomalous Temperature Behavior of Resistivity in Lightly Doped Manganites Around a Metal-Insulator Phase Transition // Письма в ЖЭТФ. 1999. Т. 70. № 7. С. 473–478.
18. Yuan C. L., Zhu Y., Ong P. P. The Effects of Cu Doping on the Magnetoresistive Behavior of Perovskites

- $\text{La}_{0.7}\text{Ca}_{0.3}\text{MnO}_3$  // Solid. State Commun. 2001. V. 120. P. 495–499.
19. *Tovstolytkin A. I., Pogorilyi A. N., Shypil E. V., Podyalovski D. I.* An Abnormal Effect of Low Level Cu Doping on the Magnetism and Conductivity of  $\text{La}_{0.7}\text{Ca}_{0.3}\text{MnO}_{3-\delta}$  // Phys. Met. Metallogr. 2001. V. 91. Suppl. 1. P. S214–S218.
  20. *Reis M.S., Freitas J.C.C., Orlando M.T.D. et al.* Electric and Magnetic Properties of Cu-Doped La–Sr Manganites // J. Magn. Magn. Mater. 2002. V. 668. P. 242–245.
  21. *Haupt L., Helmolt R., Sondermann U. et al.* Metal–Semiconductor Transition in the Double Exchange System  $\text{La}_{0.8}\text{Sr}_{0.2}\text{Mn}_{1-x}\text{Cu}_x\text{O}_3$  // Phys. Lett. A. 1992. V. 165. № 5–6. P. 473–479.
  22. *Pickett W.E.* Electronic Structure of the High-Temperature Oxide Superconductors // Rev. Mod. Phys. 1989. V. 61. Issue 2. P. 433–512.
  23. Тихонова И.Р. Фазовые равновесия, структура и нестехиометрия сложных оксидных фаз в системах La–Me–Cu–O (Me = Mn, Co): Автореф. дис. .... канд. хим. наук. Екатеринбург, 1999. С. 9.
  24. Тихонова И.Л., Зуев А.Ю., Петров А.Н. Фазовые равновесия и кристаллическая структура фаз в системе La(Sr)–Mn–Cu–O // Журн. физ. химии. 1998. Т. 72. № 10. С. 1794–1797.
  25. *Tovstolytkin A. I., Pogorilyi A. N., Belous A. G., Yanchevski O. Z.* Unusual Substitutional Properties of Cu in Bulk Polycrystalline Samples of  $\text{La}_{0.7}\text{Ca}_{0.3}\text{Mn}_{1-x}\text{Cu}_x\text{O}_{3-\delta}$  // Low Temp. Phys. 2001. V. 27. № 5. P. 366–371.
  26. Боровских Л.В., Мазо Г.А., Иванов В.М. Определение средней степени окисления марганца в сложных мanganитах // Вестн. МГУ. Сер. 2. Химия. 1999. Т. 40. № 6. С. 373–374.
  27. *Ullmann H., Trofimenko N.* Estimation of Effective Ionic Radii in Highly Defective Perovskite-Type Oxides from Experimental Data // J. Alloys Comp. 2001. V. 316. P. 153–158.
  28. *Shannon R.D.* Revised Effective Ionic Radii and Systematic Studies of Interatomic Distances in Halides and Chalcogenides // Acta Crystallorg.; Sect. A. 1976. V. A32. P. 751.
  29. *Abou-Ras D., Boujelben W., Cheikh-Rouhou A. et al.* Effect of Strontium Deficiency on the Transport and Magnetic Properties of  $\text{Pr}_{0.7}\text{Sr}_{0.3}\text{MnO}_3$  // J. of Magn. Magn. Mater. 2001. V. 233. P. 147–154.
  30. *Dagotto E., Motta T., Moreo A.* Colossal Magnetoresistant Materials: the Key Role of Phase Separation // Phys. Rep. 2001. V. 344. P. 1–153.
  31. *Hiroyuki Kamata, Yuki Yonemura, Yurichiro Mizusaki et al.* High Temperature Electrical Properties of the Perovskite-Type Oxide  $\text{La}_{1-x}\text{Sr}_x\text{MnO}_3$  // J.Phys.Chem.Solids. 1995. V. 56. № 7. P. 943–950.
  32. *Nadgorny B., Mazin I.I., Osofsky M. et al.* Origin of High Transport Spin Polarization in  $\text{La}_{0.7}\text{Sr}_{0.3}\text{MnO}_3$ : Direct Evidence for Minority Spin States // Phys. Rev. B. 2001. V.63. P.184433–184437.
  33. *Coey J.M.D., Sanvito S.* Magnetic Semiconductors and Half-Metals // J. Phys. D: Appl. Phys. 2004. V. 37. P. 988–993.
  34. *Urushibara A., Moritomo Y., Arima T. et al.* Insulator–Metal Transition and Giant Magnetoresistance in  $\text{La}_{1-x}\text{Sr}_x\text{MnO}_3$  // Phys. Rev. B. 1995. V. 51. № 20. P. 14103–14109.
  35. *Akimoto T., Maruyama Y., Moritomo Y., Nakamura A.* Antiferromagnetic Metallic State in Doped Manganites // Phys. Rev. B. 1998. V. 57. № 10. P. 5594–5597.
  36. *Budak S., Ozdemir M., Aktas B.* Temperature Dependence of Magnetic Properties of  $\text{La}_{0.67}\text{Sr}_{0.33}\text{MnO}_3$  Compound by Ferromagnetic Resonance Technique // Physica B. 2003. V. 339. P. 45–50.
  37. *Rivadulla F., Hueso L. E., Jardon C. et al.* Effect of Porosity on FMR Linewidth of  $\text{Ln}_{0.67}\text{A}_{0.33}\text{MnO}_3$  ( $\text{Ln} = \text{La}, \text{Pr}; \text{A} = \text{Ca}, \text{Sr}$ ) // J. Magn. Magn. Mater. 1999. V.196–197. P. 470–472.